



تقدير الإشعاع الشمسي المباشر بمنخفض الجفوب شرق ليبيا ودوره في استدامة

موارد الطاقة

عائشة رجب منصور ادويب

المعهد العالي للعلوم والتكنولوجيا إجدابيا

أ. سعد رجب حمدو لشہب

محاضر بقسم الموارد والبيئة، كلية العلوم البيئية المزج،

جامعة بنغازي.

الملخص:

ناقشت هذه الورقة تقدير الإشعاع الشمسي الكلي بمنخفض الجفوب شرق ليبيا، واعتمدت الدراسة على تقدير معدلات الإشعاع الشمسي للأعوام (2023، 2024، 2025، 2026، 2027)، حيث هدفت الدراسة إلى تحديد المواقع التي تحقق الاستفادة في استخدام الطاقة الشمسية، باستخدام تقنيات نظم المعلومات الجغرافية، و اختيار وتحديد مواضع إقامة المحطات وفقاً لمعايير ثابتة عن طريق بناء نماذج الملائمة المكانية للوصول إلى موازنة يتم من خلالها تحديد هذه المواقع، وتم الاعتماد على عدة مناهج وأساليب للدراسة منها المنهج الإقليمي، ومنهج التحليل المكاني، والأسلوب الكمي التحليلي، والأسلوب الإحصائي، بالإضافة إلى أسلوب المعايير المتعددة، ومن أهم النتائج التي تم التوصل إليها، أن متوسط كمية الإشعاع الشمسي المقدرة لشهر فصل الصيف لعام 2023 تراوحت (301899-358399) كيلو واط ساعة/ m^2 ، كما قدر متوسط كمية الإشعاع الشمسي المقدرة لشهر فصل الصيف لعام 2024 بقيمة تراوحت (249945-208724) كيلو واط ساعة/ m^2 ، كما قدر متوسط كمية الإشعاع الشمسي المقدرة لشهر فصل الصيف لعام 2025 بقيمة تراوحت (507067.428511) كيلو واط ساعة/ m^2 ، وبناءً عليه تم اقتراح عدة مواضع ملائمة لإقامة مستجمعات للطاقة الشمسية.

الكلمات المفتاحية:

مستجمعات، الطاقة، الإشعاع، الملاءمة، المعايير.



Abstract;

This paper discussed estimating solar radiation in the Jaghbub depression in northeastern Libya, and the study relied on estimating solar radiation rates for the years (2023, 2024, 2025, 2026, 2027). The study aimed to identify locations that benefit from the use of solar energy, using information systems techniques. Geography, selecting and determining the locations of stations according to fixed standards by building spatial suitability models to reach a budget through which these locations are determined. Several approaches and methods were relied upon for the study, including the regional approach, the spatial analysis approach, the quantitative analytical method, and the statistical method, in addition to The multiple criteria method, and one of the most important results reached is that the estimated average amount of solar radiation for the summer months of 2023 ranged from (301899-358399) kWh/m², and the estimated average amount of solar radiation for the summer months of 2024 was estimated at a value that ranged from (208724). - 249,945) kilowatt-hours/m². The estimated average amount of solar radiation for the summer months of 2025 was estimated at a value ranging from (428,511 - 507,067) kilowatt-hours/m², and accordingly, several suitable locations were proposed for establishing solar energy catchments.

Keywords:

Catchments, energy, radiation, suitability, standards



المقدمة:

استغلال الطاقات المتجدددة المتاحة في إقامة العديد من المشاريع التنموية المستدامة حيث أن منطقة الدراسة تطول فيها فترة السطوع بحيث تتجاوز 10 ساعات في متوسطها العام مما يرفع من إمكانية إنتاج معدلات عالية من الطاقة، ويعُد استخدام الطاقات المتجدددة من أبرز الاتجاهات في التنمية المستدامة (الزرمودي، 2022، 2).

منطقة الدراسة:

يقع منخفض الجفوب في أقصى شمال شرق صحراء ليبيا على الحدود الليبية المصرية جنوب شرق مدينة طبرق بمسافة 260 كم، يحده من الشرق منخفض سيبة داخل الأرضي المصرية، وغرباً واحات جالو وأوجلة وأخره، وشمالاً هضبة الدفة الجيرية، وجنوباً بحر الرمال العظيم، وتبلغ مساحته 1234.359 كم²، أما فلكياً فيقع بين دائري عرض 29.46.32 و 29.44.43 شماليًّاً، وخطي طول 24.29.08 و 24.31.44 شرقاً، الشكل (1).

— **الحدود الزمانية:** اعتمدت الدراسة على تقدير بيانات الإشعاع الشمسي المباشر الفصلية لسنوات 2023، 2024، 2025، 2026، 2027.

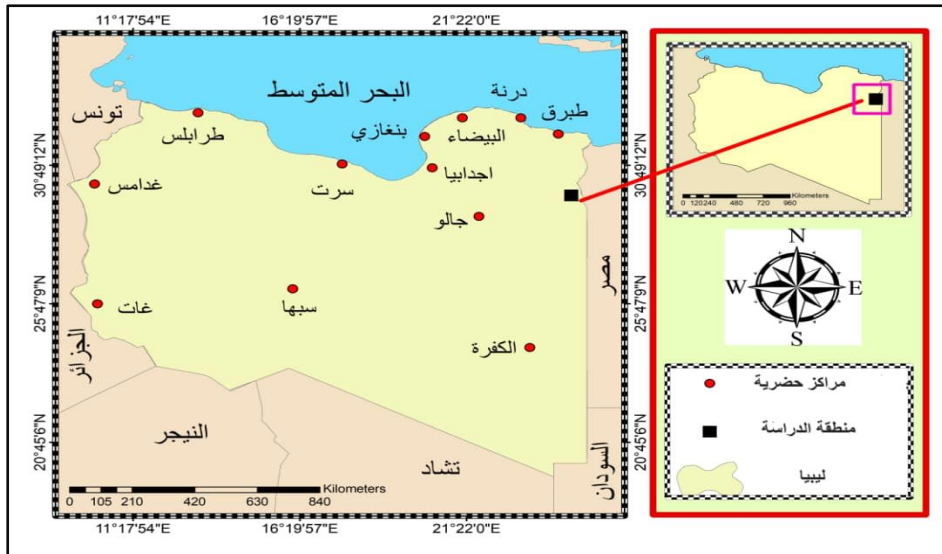
تعد الطاقة الشمسية من أهم مصادر الطاقة المتجدددة بليبيا، وتسعي الدولة جاهدة لتطوير مجال استخدامها على الرغم من أن الاهتمام باستغلالها يعتبر حديثاً، وبحكم الموقع الجغرافي أو الفلكي بين دائري عرض 18.45 و 32.32 فإن الأشعة الشمسية تصل إلى 8 كيلو وات /الساعة للمتر المربع الواحد، وساعات السطوع 3200-4000 ساعة في السنة، وتبلغ كمية الطاقة الشمسية الساقطة على مساحة ليبيا خلال سنة واحدة 350×103(3.5 مليارات) كيلو وات /ساعة وهو ما يفوق 100000 مرة لاحتياج الكهرباء المتوقعة في ليبيا لعام 2040 (قلية، 2019، 9).

ونظراً لاتساع المنطقة ووقوعها ضمن الصحراء الليبية حيث تمتلك إمكانات سطوع كبيرة تشجعها على استخدام هذا المصدر، كذلك اتساع النطاق الصحراوي حيث يمثل حوالي 80 % من مساحة ليبيا، والذي يسمح باستغلاله لإقامة محطات لتوليد الطاقة الشمسية، ونقل إنتاجها من الكهرباء إلى المدن، إذ يبلغ الإشعاع الشمسي قرابة 2800 كيلو وات /ساعة للمتر المربع في السنة بالصحراء الليبية فليبيا قادرة عن إنتاج 7% من الإنتاج العالمي للطاقة الشمسية (ندار، 2021، 7).

ومن خلال هذه الدراسة تبين أن الظروف الطبيعية والبشرية في منطقة الدراسة تساعد إلى حدٍ كبير في



شكل (1) موقع منطقة الدراسة



المصدر: من عمل الباحث باستخدام برنامج Arc Gis10.5

— تقدير الإشعاع الشمسي في منطقة الدراسة بناءً على تحليل النماذج الرقمية، والوصول إلى نتائج قد يتم الاعتماد عليها في دراسات مستقبلية.

· مناهج الدراسة وأساليبها:

· المنهج الإقليمي:

في دراسة إمكانيات استخدام الطاقة الشمسية في الإقليم الصحراوي الواقع في الجنوب الليبي، والذي قد تعمم نتائجه على نظيره من الأقاليم في المنطقة العربية.

· منهج التحليل المكاني:

تم الاعتماد على هذا المنهج في إبراز الاختلافات المكانية

وتحليلها بمنطقة الدراسة.

· الأسلوب الكمي التحليلي:

لتعامل مع البيانات المتعلقة بالعناصر المناخية، وتحليلها

وتمثلتها في جداول وأشكال بيانية.

· موضوع الدراسة:

يعد المحافظة على البيئة واستدامة مواردها من الأمور المهمة التي باتت تشغل العالم في العصر الحديث، حيث تسهم الطاقة غير المتتجدد في تلوث البيئة بشكل كبير، مما نجم عنه العديد من المشكلات البيئية التي أصبحت تؤرق البشرية جموعاً، حيث ظهرت عدة توجهات عالمية نحو استخدام موارد الطاقة النظيفة كطاقة الشمس والرياح والطاقة الكهرومائية وطاقة الكتلة الحيوية، باعتمادها طاقات متتجدة غير ناضبة، بالإضافة إلى كونها طاقات نظيفة غير ملوثة للبيئة.

· اهداف الدراسة:

— توظيف تقنية نظم المعلومات الجغرافية في مجال الطاقات المتتجدة.

مجلة آفاق للدراسات الإنسانية والتطبيقية

كلية الآداب والعلوم الأدبية - جامعة بنغازي

رقم الایداع بدار الكتب الوطنية (313-2023)

العدد الاول (فبراير-2024)



أسلوب المعايير المتعددة:

تحديد المعايير وأوزانها:
تعد عملية تحديد المعايير وأوزانها من الخطوات المهمة في إعداد النموذج الهيائي للملائمة المكانية، وهو بشكل عام يعتمد على نوع البيانات المكانية التي يتم الاعتماد عليها في معرفة المواقع المناسبة لإنشاء هذه المحطات.

تحليل المسافات:

وهو تحليل مرتبط بعملية المطابقة لأوزان المعايير حيث يتم حساب البعد عن كل معيار من المعايير المستخدمة في عملية الملائمة، كشبكة الطرق واستخدامات الأرض بحيث تقام مسافة بعد بالكيلو متر، باستخدام أداة Distance Path ثم أداة Distance.

إعادة تصنيف المعايير:

حيث صنفت المعايير إلى رتب تبين مدى صلاحية بعد والقرب عن كل معيار بالنسبة لمحطات الطاقة الشمسية، ويتم إعادة تصنيف المعايير من صندوق أدوات Tool Box Reclassify ثم Spatial Analyst Tools، ثم اختيار أداة Arc Raster ثم رسم مناطق استخدامات الأرض من المرئية الفضائية.

رقمية من 7.1

الذي يهدف إلى التوصل إلى نموذج هيائي يمكن الحكم من خلاله على مدى الملائمة المكانية، لإنشاء مستجمعات طاقة شمسية، جدول (1)، تم حساب المناسبات والانحدار على نموذج الارتفاع الرقمي DEM بدقّة مكانيّة Srtm 30×30 متر، وتم استخدام النموذج بعد عملية الأسقاط والرجوع الجغرافي UTM 1984 coordinate systems واقتاصاص منطقة الدراسة، وإجراء عملية تحليل السطوح بتحليل فئات الانحدار للسطح من خلال Spatial Analyst Tools ثم اختيار Surface Slope وتحديد فئات الانحدار بعد ذلك، لتطبيق معيار ميل سطح الأرض بالدرجات، وتحويل الجزء المقتضى من نموذج الارتفاع الرقمي من Victor إلى Raster ثم رسم مناطق استخدامات الأرض من المرئية الفضائية.

مجلة آفاق للدراسات الإنسانية والتطبيقية

كلية الآداب والعلوم الأدبية - جامعة بنغازي

رقم الایداع بدار الكتب الوطنية (313-2023)

العدد الاول (فبراير-2024)



جدول (1) معايير انساب مواضع تجميع الطاقة الشمسية

| الملائمة | الفئات | المعيار | نوع المعيار |
|------------|------------|---------------------|-------------|
| عالية | اكبر من 8 | الاشعة الشمسية | تقني |
| متوسطة | 8.6 | (كيلو وات/متر) | |
| قليلة | 6.4.5 | مربع/يوم | |
| غير ملائمة | أقل من 4.5 | | |
| عالية | 3.0 | ميل سطح الأرض | |
| متوسطة | 5 .3 | (درجة) | |
| قليلة | 10.5 | | |
| غير ملائمة | اكبر من 10 | | |
| ملائم | اكبر من 5 | البعد عن شبكة | |
| غير ملائم | اصغر من 5 | الطرق (كم) | |
| ملائم | اكبر من 5 | البعد عن المدن (كم) | |
| غير ملائم | اصغر من 5 | | |
| ملائم | اكبر من 3 | البعد عن المطارات | |
| غير ملائم | اقل من 3 | (كم) | |
| غير ملائم | - | حدود التجمعات | |
| غير ملائم | - | ال عمرانية | |
| | - | الارضي الزراعية | قيود |
| | - | السبخات | |

المصدر: جمعة محمد داود وأخرون، تحديد أفضل المواقع لتجمیع الطاقة الشمسیة في منطقة مکة المکرمة الاداریة باستخدام نظم المعلومات الجغرافیة متعددة المعايیر، الملتقى الوطنی الحادی عشر لتطبیقات نظم المعلومات الجغرافیة، جامعة الأمام عبد الرحمن بن فیصل، 13 ، ابریل، 2017

الدراسات السابقة:

- دراسة إبراهيم، (2016)، بعنوان "تقدير مركبة الإشعاع الشمسي المنتشر لعدد من المناطق الليبية"، هدفت الى تقدير مركبة الإشعاع الشمسي المنتشر لعدد 16 موقعًا موزعة جغرافيا على شمال ووسط وجنوب البلاد وهي طرابلس، سرت، بنينا، إجدابيا، شحات، طبرق، غدامس، القريات، هون، جالو، الجغبوب، غات، سهبا، تازربو، الكفرة، وقد اعتمدت على بيانات تم الحصول عليها من



قيمه (9.8) في مدينة مرزق، في حين أن أدنى متوسط بلغ (2.3) في مدينة سبها، ترکز أعلى متوسط لقيم الإشعاع الشمسي المقدر حيث بلغ (9.4) لعام 2023، في مدينة هون في حين أن أدنى متوسط لنفس العام بلغ (3.5) في مدينة مرزق. واختيار أنساب المواقع لمحطات الطاقة الشمسية بمناطق (جالو، هون، سبها، مرزق)، واعتمدت الدراسة على تقدير معدلات الإشعاع الشمسي للأعوام (2021، 2022، 2023)، حيث هدفت الدراسة إلى تحديد المناطق التي تحقق الاستفادة في استخدام الطاقة الشمسية، واختيار تحديد مواضع إقامة المحطات وفقاً لمعايير ثابتة عن طريق بناء نماذج الملائمة المكانية للوصول إلى موازنة يتم من خلالها تحديد هذه المواقع، وتم الاعتماد على عدة مناهج وأساليب للدراسة منها المنهج الإقليمي، ومنهج التحليل المكاني، والأسلوب الكمي التحليلي، والأسلوب الإحصائي، بالإضافة إلى أسلوب المعايير المتعددة، ومن أهم النتائج التي تم التوصل إليها، أن أعلى قيمة للإشعاع الشمسي المقدر للشهر ترکزت في مدينة مرزق حيث بلغت (6.6) كيلو واط ساعة/م².

النتائج والمناقشة:

تقدير الإشعاع الشمسي المباشر للفترة (2023-2027). تم تقدير كمية الإشعاع الشمسي بالاعتماد على نموذج الارتفاع الرقعي DEM، عن طريق تحديد ارتفاع المنطقة أو انخفاضها عن مستوى سطح البحر، وتحديد السنوات المراد تقاديرها، جدول (2).

ساعات السطوع. كما تم تحويل الكميات المقاومة لكل من الإشعاع الشمسي الكلي والمنشر الساقطة على سطح أفقى إلى بيانات على سطح مائل وذلك باستخدام نموذج لفرض الحصول على زوايا الميلان المثلث الشهري والسنوية لهذه المناطق من المفيد جداً، وقد وجد أن زوايا الميلان المثلث السنوية (1 — 61)° وووجد أن زوايا الميلان المثلث للموقع المختار تتراوح لمدن سبها وغات والكفرة وتازبى إلى 26°، وهذه النتائج تعتبر جوهيرية لأية منظومة تجميع طاقة شمسية يزمع تركيبها في أي من الواقع المذكورة أو المناطق القريبة (ابراهيم، 2016).

— دراسة مرعي، (2018)، بعنوان: "الملائمة المكانية لاختيار محطة طاقة شمسية لقرية صيدا" وضعلت الدراسة طريقة نظم المعلومات الجغرافية (GIS) متعددة المعايير في دراسة امكانية توافر عدد من المعايير الطبيعية والاقتصادية والبيئية في بقعة مكانية محددة، بالإضافة لتحديد أفضل موقع لاختيار محطة طاقة شمسية بناء على عدة معايير تؤخذ بعض الاعتبار كمبل السطح، والإشعاع الشمسي، واستخدامات الأرض والشبكة الكهربائية. وتم حساب عدد الالواح الشمسية اللازمة لتوفير حاجة القرية من الكهرباء حيث بلغت 150 لوحة شمسي يحتوي كل لوحة على 2 خلية شمسية.

— دراسة الزردوبي، وآخرون، (2022)، ناقشت هذه الورقة تقدير الإشعاع الشمسي خلال العام 2022، ترکزت أعلى متوسط لقيم الإشعاع الشمسي المقدر لعام 2021 ما



جدول (2) القيم الاعلى الادنى للإشعاع الشمسي المباشر المقدر لسنوات الدراسة

| السنوات | قيمة الإشعاع الشمسي المقدر/ كيلو واط ساعة/م ² | أعلى قيمة | أدنى قيمة |
|---------|--|-----------|-----------|
| 2023 | 504240 | أعلى قيمة | أدنى قيمة |
| | 425624 | أعلى قيمة | أدنى قيمة |
| 2024 | 505226 | أعلى قيمة | أدنى قيمة |
| | 426502 | أعلى قيمة | أدنى قيمة |
| 2025 | 501967 | أعلى قيمة | أدنى قيمة |
| | 424323 | أعلى قيمة | أدنى قيمة |
| 2026 | 466196 | أعلى قيمة | أدنى قيمة |
| | 393566 | أعلى قيمة | أدنى قيمة |
| 2027 | 467050 | أعلى قيمة | أدنى قيمة |
| | 394719 | أعلى قيمة | أدنى قيمة |

المصدر: من حساب الباحث اعتماداً على Solar Radiation باستخدام برنامج Arc Gis10.5

قيمة الإشعاع الشمسي المقدر كل 14 يوم على مدار 2 ساعة للفترة (1. يونيو.2025) حتى (28. أغسطس.2025)، إن أعلى قيمة مقدرة بلغت (501967) (كيلو وات/متر مربع/يوم ، وأدنى قيمة بلغت (424323) (كيلو وات ساعة/متر مربع، أما قيمة الإشعاع الشمسي الكلي المقدر للفترة المتدة (7. يونيو.2026) حتى (27. أغسطس.2026) بلغت (466196) (كيلو وات ساعة/متر مربع، كقيمة عليا، لكن 10 أيام بفواصل زمني قدره 2 ساعة، وأدنى قيمة بلغت (393566) (كيلو وات/متر مربع/يوم ، كما أن أعلى قيمة مقدرة للفترة (6. يونيو.2027) حتى (16. أغسطس.2027) بلغت (467050) (كيلو وات/متر مربع/يوم وأدنى قيمة مقدرة للإشعاع الشمسي بلغت (394719) (كيلو وات/متر مربع/يوم ، شكل (2).

من خلال الجدول (2) المتعلق بتقدير كمية الإشعاع الشمسي للفترة المتدة (1— يونيو— 2023 حتى 31. أغسطس— 2023) لمحطة الجفوبو، باستخدام تحليلات الإشعاع الشمسي كل 14 يوم لكل فترة قياس تقديريّة بفواصل زمني قدره 2 ساعة، تبين أن قيمة الإشعاع الشمسي الكلي المقدر الساقط بلغ (504240) (كيلو وات/متر مربع/يوم ، كأعلى قيمة مقدرة و(425624) (كيلو وات/متر مربع/يوم ، كأدنى قيمة مقدرة، في حين بلغت قيمة الإشعاع الشمسي المباشر المقدر الساقط للفترة المتدة (2. يونيو.2024) حتى (29. أغسطس.2024)، بفترة قياس تقديريّة 14 يوم بفواصل زمني قدره 2 ساعة تبين أن قيمة الإشعاع الشمسي الكلي المقدر الساقط بلغ (505226) (كيلو وات/متر مربع/يوم ، كأعلى قيمة مقدرة و(426502) (كيلو وات ساعة/متر مربع ، كأدنى قيمة مقدرة، وبينت

مجلة آفاق للدراسات الإنسانية والتطبيقية

كلية الآداب والعلوم الأدبية - جامعة بنغازي

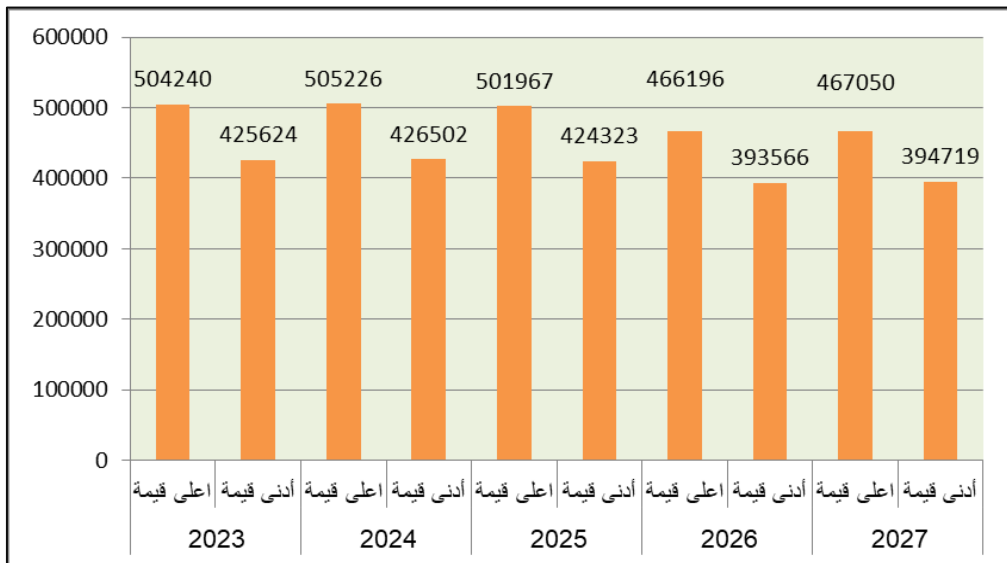
رقم الإيداع بدار الكتب الوطنية (313-2023)

العدد الأول (فبراير-2024)



شكل (2) أعلى قيمة وأدنى قيمة مقدرة للإشعاع الشمسي

كيلو وات/متر مربع/يوم للفترة (2027.2023)



المصدر: جدول (2)

معياري قدره (2437.86) في عام 2024، أما أدنى قيمة مقدرة للإشعاع الشمسي بلغت (466195.84) (كيلو وات/متر مربع/يوم، بمتوسط حسابي بلغ (460077.00)، وانحراف معياري قدره (2233.16) حسب تقدير عام 2026، جدول (3).

— التحليل الاحصائي لقيم الإشعاع الشمسي المباشر المقدرة لشهر الصيف بانخفاض الجفوب لل فترة (2027.2023):
يلاحظ من بيانات الجدول (3) أن أعلى قيمة للإشعاع الشمسي المقدر بلغت (505225.56) (كيلو وات/متر مربع/يوم بمتوسط حسابي بلغ (498558.14) وانحراف



جدول (3) التحليل الاحصائي لقيم الاشعاع الشمسي المباشر المقدرة لشهر الصيف، بمنخفض الجغبوب للفترة (2027-2023)

التحليل الاحصائي لقيم الاشعاع الشمسي المقدرة

السنة

| معامل الاختلاف* | الانحراف المعياري* | المتوسط* | أعلى قيمة | أقل قيمة | السنة |
|-----------------|--------------------|-----------|-----------|-----------|-------|
| %0.49 | 2448.50 | 497555.02 | 504239.53 | 425623.96 | 2023 |
| معامل الاختلاف | الانحراف المعياري | المتوسط | أعلى قيمة | أقل قيمة | 2024 |
| %0.48 | 2437.86 | 498558.14 | 505225.56 | 426501.90 | |
| معامل الاختلاف | الانحراف المعياري | المتوسط | أعلى قيمة | أقل قيمة | 2025 |
| %0.48 | 2384.40 | 495419.33 | 501967.18 | 424323.25 | |
| معامل الاختلاف | الانحراف المعياري | المتوسط | أعلى قيمة | أقل قيمة | 2026 |
| %4.85 | 2233.16 | 460077.00 | 466195.84 | 393565.75 | |
| معامل الاختلاف | الانحراف المعياري | المتوسط | أعلى قيمة | أقل قيمة | 2027 |
| %0.48 | 2224.20 | 460946.21 | 467050.34 | 394718.87 | |

المصدر: من حساب الباحث اعتماداً على Solar Radiation باستخدام برنامج Arc Gis10.5

.المتوسطات الشهرية للإشعاع الطبيعي المباشر* والطاقة الكهروضوئية*

في شهر فبراير، وبلغ متوسط الطاقة الكهروضوئية المحددة أعلى في شهر يوليو حيث بلغ 176.3 كيلو وات/متر مربع/يوم، وأدنى متوسط في شهر ديسمبر حيث بلغ 96.3 كيلو وات/متر مربع/ يوم.

من الجدول (4) المتعلق بتحليل المتوسطات الشهرية للإشعاع الشمسي بلغ أعلى متوسط للإشعاع الشمسي الطبيعي المباشر 237.2 كيلو وات/متر مربع/ يوم في شهر يوليو، وأدنى متوسط بلغ 139.9 كيلو وات/متر مربع/ يوم

* الإشعاع الطبيعي المباشر: هو الانبعاث التلقائي للطاقة على شكل اشعة من الانوية غير المستقرة في الطبيعة (عددها اذري اكبر من 20) في حين يشكل الاشعاع الصناعي الطاقة التي تتباعد من النظائر والانوية التي يتم قذفها بجسيمات دون الذرية.

** الطاقة الكهروضوئية المحددة: هي تكنولوجيا تحويل ضوء الشمس إلى كهرباء، وتم باستخدام الالواح الشمسية (PV) المكونة من الخلايا الكهروضوئية، وتولد هذه الخلايا تيار كهربائي مباشر (DC).

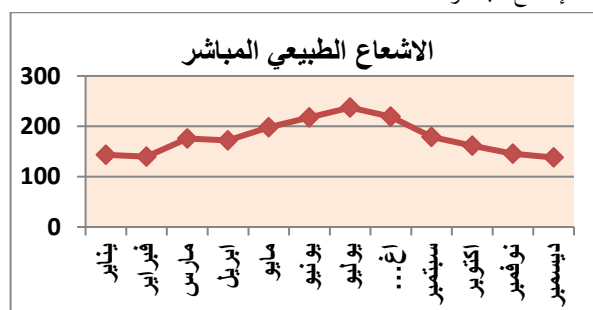


جدول (4) المتوسطات الشهرية للإشعاع الطبيعي المباشر والطاقة الكهروضوئية

| المتوسطات الشهرية | | | الشهور |
|--------------------|---------------------------|----------------------------|------------|
| أشعة طبيعية مباشر | أجمالي الطاقة الكهروضوئية | الطاقة الكهروضوئية المحددة | |
| kWh/m ² | kWh | kWh/kWp | |
| 143.5 | 103486.6 | 103.5 | يناير |
| 139.9 | 110959.7 | 111 | فبراير |
| 175.8 | 145585 | 145.6 | مارس |
| 172.2 | 154286.8 | 154.3 | ابريل |
| 197.8 | 166840 | 166.8 | مايو |
| 217.4 | 169797.5 | 169.8 | يونيو |
| 237.2 | 176257 | 176.3 | يوليو |
| 219.3 | 168500.6 | 168.5 | اغسطس |
| 179.1 | 145735.2 | 145.7 | سبتمبر |
| 161.5 | 128589.9 | 128.6 | اكتوبر |
| 145.6 | 105328.7 | 105.3 | نوفمبر |
| 138 | 96322.2 | 96.3 | ديسمبر |
| 2127.3 | 1671688.9 | 1671.7 | متوسط سنوي |

المصدر: [/https://globalsolaratlas.info](https://globalsolaratlas.info)

شكل (3) متوسطات الشهرية للإشعاع المباشر



المصدر: جدول (4).

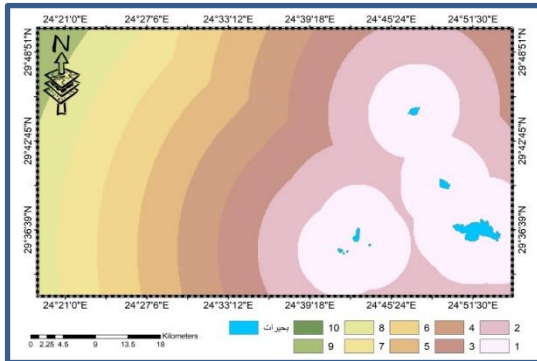
الملاعة المكانية:

تم التعامل في هذه الخطوة مع المخرجات التي تمت إعادة تصنيفها، بعد عملية بناء النموذج Bolder، شكل (5) تمهدًا لتطبيق تحليل الوزن والجمع، وتم الوصول للأداة من صندوق أدوات التحليل، والانتقال إلى Spatial Weighted Overlay Analysis ثم تم اختيار Overlay بعد عملية بناء النموذج والأشكال.

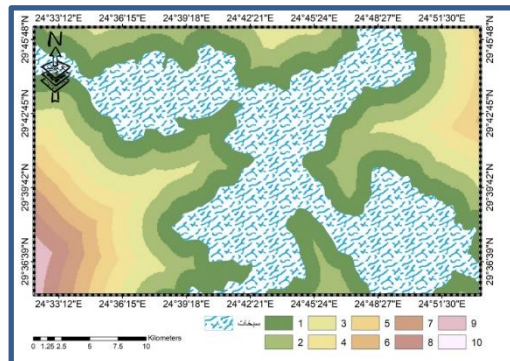
نماذج الملائمة النهائية لاختيار مواقع مجمعات الطاقة الشمسية:

يعتمد بناء نموذج الملائمة النهائية في اختيار مواقع محطات الطاقة الشمسية على عدد من المعايير منها معايير تقنية ومعايير اقتصادية، وقيود طبيعية وبشرية، وتعتمد هذه المعايير على فئات ملائمة مكانية، كاستواء السطح الذي ستقام عليه المحطة، وبعده عن المباني، وقربه من خطوط الكهرباء، وبعده عن العوائق الطبيعية كالجبال والهضاب.

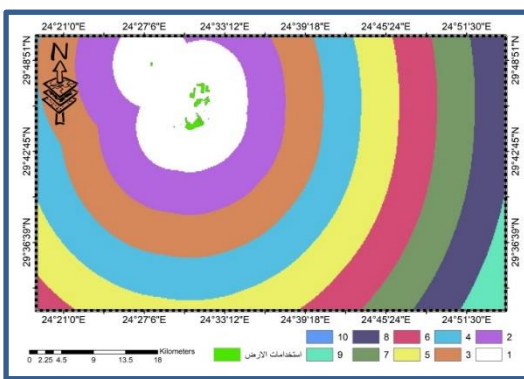
شكل (6) معيار البعد عن البحيرات



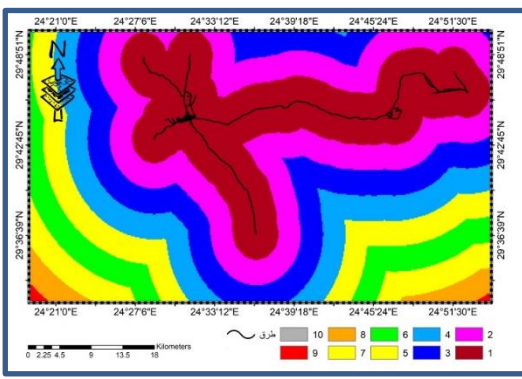
شكل (5) معيار البعد عن السبخات



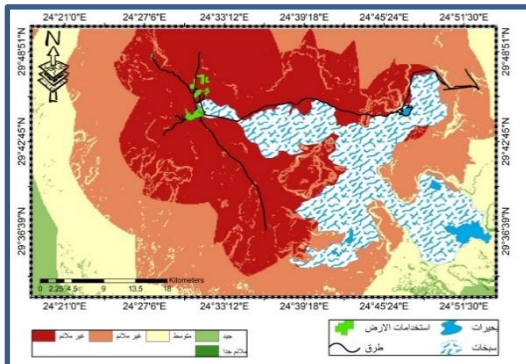
شكل (8) معيار البعد عن استخدام الأرض



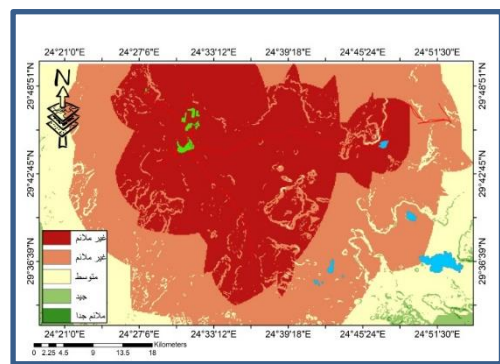
شكل (7) معيار البعد عن الطرق



شكل (9) نموذج الملاءمة



شكل (10) نموذج الملاءمة النهائي



انسب المواقع لتجميع الطاقة الشمسية، تم اقتراح عدد 5 مواقع تعد هي الأنسب من حيث ملائمتها المكانية لهذا الغرض.

يبين الجدول (5) المواقع المقترحة لإقامة مجمعات الطاقة الشمسية بعد تطبيق الملاءمة المكانية وتصنيف المعايير وأوزانها، ثم إعادة موازنة هذه المعايير، وفقاً لمعايير

جدول (5) المواقع المقترحة لمستجمعات الطاقة الشمسية

| ن | خط العرض | خط الطول | الارتفاع / بالمتر | الموقع المقترن |
|---|------------|------------|-------------------|----------------|
| 1 | °29.728771 | °24.268426 | 53 | غرب |
| 2 | °29.695025 | °24.263156 | 50 | غرب |
| 3 | °29.621373 | °24.281318 | 27 | جنوب غرب |
| 4 | °29.538415 | °24.797359 | 81 | جنوب شرق |
| 5 | °29.686260 | °24.273396 | 54 | جنوب غرب |

المصدر: الباحث اعتمد على نموذج الملاءمة المكانية

نظراً لطبيعة الأرض الصخرية غرب الواحة مقارنة بباقي المواقع ذات الطبيعة الرملية.

النتائج:

1- إن المواقع التي تقع غرب واحة الجفوب وجنوب غربها تعد من أفضل المواقع لإقامة مستجمعات طاقة شمسية،



3. تشجيع البحث والتطوير في مجال الطاقات المتجددة، واستغلالها خاصة الطاقة الشمسية من خلال إنشاء معاهد ومراكز وكليات متخصصة في هذا المجال.

.المراجع:

1. الزردومي ريم، لشہب، سعد، الغول، بسمة، (2022)، تقدیر الاشعاع الشمسي واختیار انسپ المواقع لمحطات الطاقة الشمسية بمناطق جالو هون سہما مزق، أعمال المؤتمر الجغرافي السادس عشر، المجلد الثاني قسم الجغرافیا، جامعة طبرق.

2. داودو، جمعة محمد وأخرون، (2017)، تحديد أفضل المواقع لتجميع الطاقة الشمسية في منطقة مكة المكرمة الادارية باستخدام نظم المعلومات الجغرافية متعددة المعايير، الملتقى الوطني الحادي عشر لتطبيقات نظم المعلومات الجغرافية، جامعة الإمام عبدالرحمن بن فيصل.

3. قلية، منصور علي، (2019)، إمكانية استخدام الطاقة الشمسية في ليبيا، دراسة في جغرافية الخدمات، مجلة كليات التربية جامعة الزاوية، العدد التاسع.

4. ندار، ابوبكر عبيدة، بالحاج، سهام مفتاح، (2021)، الطاقة الشمسية وسبل استغلالها في الجنوب الليبي لتحقيق التنمية المستدامة، المؤتمر العلمي الثاني لكلية التربية العجيلاوات والأول لقسم الجغرافيا تحت عنوان المقومات الجغرافية والسياسات الاقتصادية لليبيا وأثرها في تحقيق التنمية المستدامة.

5. www.globalsolaratlas.info

2— بعد جنوب شرق واحة الجغبوب غير ملائم لإقامة مستجمعات طاقة شمسية، نظراً لكثرة انتشار البحيرات والسبخات في هذا الجزء من المنخفض.

3— لم تُظهر نتائج الملائمة المكانية أي موضع في وسط المنخفض تصلح لإقامة مستجمعات طاقة شمسية، نتيجة لوجود السبخات والحافات الصخرية وغيرها من القيود الطبيعية، وبذلك تعد مواقع وسط المنخفض موضع غير ملائمة.

4. أن متوسط كمية الاشعاع الشمسي المقدرة لشهر فصل الصيف لعام 2023 تراوحت (301899) – (358399) كيلو وات/متر مربع/يوم.

5. قدر متوسط كمية الاشعاع الشمسي المقدرة لشهر فصل الصيف لعام 2024 بقيمة تراوحت (208724) – (249945) كيلو وات/متر مربع/يوم.

6. قدر متوسط كمية الاشعاع الشمسي المقدرة لشهر فصل الصيف لعام 2025 بقيمة تراوحت (428511) – (507067) كيلو وات/متر مربع/يوم.

7. أن أعلى قيمة مقدرة للفترة (6- يونيو- 2027) حتى (16. أغسطس. 2027) بلغت (467050) كيلو وات/متر مربع/يوم.

التوصيات:

1. التوجه نحو استخدام الطاقات البديلة والحد من استخدام الوقود ومشتقاته.
2. إحياء المزيد من الدراسات لتحديد أفضل التطبيقات والتقنيات الخاصة، باستغلال الإشعاع الشمسي والتي تتوافق مع طبيعة ومعطيات منطقة الدراسة.

مجلة آفاق للدراسات الإنسانية والتطبيقية

كلية الآداب والعلوم الأبيات - جامعة بنغازي

رقم الایداع بدار الكتب الوطنية (313-2023)

العدد الاول (فبراير-2024)



الملاحق

مجلة آفاق للدراسات الإنسانية والتطبيقية

كلية الآداب والعلوم الأدبية - جامعة بنغازي

رقم الإيداع بدار الكتب الوطنية (2023-313)

العدد الأول (فبراير-2024)



ملحق (1) إجمالي إنتاج الطاقة الكهروضوئية وإجمالي خروج الطاقة الكهروضوئية

| Dec | Nov | Oct | Sep | Aug | Jul | Jun | May | Apr | Mar | Feb | Jan | ملايين كيلو واط | إجمالي خروج الطاقة الكهروضوئية [Wh] | | إجمالي إنتاج الطاقة الكهروضوئية [Wh] | | | |
|---------|---------|---------|--------|--------|--------|--------|--------|--------|--------|--------|--------|-----------------|-------------------------------------|--------|--------------------------------------|--------|------|-------|
| | | | | | | | | | | | | | نوفمبر | أكتوبر | يناير | فبراير | مارس | |
| 0 | 0 | 0 | 0 | 0 | 0 | 0 | 0 | 0 | 0 | 0 | 0 | 0 | 0 | 0 | 0 | 0 | 0 | 0 - 1 |
| 0 | 0 | 0 | 0 | 0 | 0 | 0 | 0 | 0 | 0 | 0 | 0 | 0 | 0 | 0 | 0 | 0 | 0 | 1 - 2 |
| 0 | 0 | 0 | 0 | 0 | 0 | 0 | 0 | 0 | 0 | 0 | 0 | 0 | 0 | 0 | 0 | 0 | 0 | 2 - 3 |
| 0 | 0 | 0 | 0 | 0 | 0 | 0 | 0 | 0 | 0 | 0 | 0 | 0 | 0 | 0 | 0 | 0 | 0 | 3 - 4 |
| 0 | 0 | 0 | 0 | 0 | 0 | 0 | 0 | 0 | 0 | 0 | 0 | 0 | 0 | 0 | 0 | 0 | 0 | 4 - 5 |
| 0 | 0 | 0 | 0 | 0 | 57 | 0 | 165 | 0 | 0 | 0 | 0 | 0 | 0 | 0 | 0 | 0 | 0 | 5 - 6 |
| 0 | 0 | 2266 | 15949 | 28483 | 59800 | 71502 | 63951 | 22088 | 875 | 0 | 0 | 0 | 0 | 0 | 0 | 0 | 0 | 6 - 7 |
| 12780 | 48275 | 117622 | 163487 | 190919 | 218104 | 233280 | 217194 | 168514 | 91634 | 23420 | 9896 | 7 - 8 | | | | | | |
| 158796 | 237774 | 304141 | 342178 | 372118 | 392039 | 400966 | 384860 | 343867 | 272302 | 194322 | 146573 | 8 - 9 | | | | | | |
| 321954 | 390180 | 458223 | 499918 | 528636 | 540548 | 543158 | 530117 | 505548 | 446588 | 362637 | 313061 | 9 - 10 | | | | | | |
| 440028 | 500628 | 563069 | 612225 | 638570 | 646189 | 644755 | 633554 | 621562 | 578666 | 501891 | 443865 | 10 - 11 | | | | | | |
| 506413 | 552898 | 613726 | 670152 | 702446 | 706682 | 705671 | 690212 | 686942 | 655583 | 585738 | 523830 | 11 - 12 | | | | | | |
| 516413 | 552231 | 609333 | 676473 | 715078 | 719048 | 716117 | 697616 | 700285 | 675886 | 611788 | 547106 | 12 - 13 | | | | | | |
| 472922 | 497164 | 563080 | 636455 | 684385 | 692219 | 686177 | 662423 | 666850 | 646596 | 583664 | 515518 | 13 - 14 | | | | | | |
| 371989 | 393989 | 457504 | 542239 | 606113 | 619535 | 608436 | 582035 | 577875 | 564044 | 497936 | 424671 | 14 - 15 | | | | | | |
| 233232 | 249850 | 310106 | 403341 | 481361 | 503218 | 489036 | 454135 | 446250 | 422617 | 364274 | 284989 | 15 - 16 | | | | | | |
| 72474 | 87680 | 140761 | 238855 | 322973 | 354117 | 339343 | 301164 | 282433 | 253313 | 203560 | 124083 | 16 - 17 | | | | | | |
| 166 | 286 | 8229 | 56567 | 151704 | 190108 | 179787 | 147355 | 114726 | 87906 | 33614 | 4686 | 17 - 18 | | | | | | |
| 0 | 0 | 0 | 0 | 12716 | 44047 | 41687 | 17153 | 5952 | 281 | 0 | 0 | 18 - 19 | | | | | | |
| 0 | 0 | 0 | 0 | 0 | 0 | 0 | 0 | 0 | 0 | 0 | 0 | 19 - 20 | | | | | | |
| 0 | 0 | 0 | 0 | 0 | 0 | 0 | 0 | 0 | 0 | 0 | 0 | 20 - 21 | | | | | | |
| 0 | 0 | 0 | 0 | 0 | 0 | 0 | 0 | 0 | 0 | 0 | 0 | 21 - 22 | | | | | | |
| 0 | 0 | 0 | 0 | 0 | 0 | 0 | 0 | 0 | 0 | 0 | 0 | 22 - 23 | | | | | | |
| 0 | 0 | 0 | 0 | 0 | 0 | 0 | 0 | 0 | 0 | 0 | 0 | 23 - 24 | | | | | | |
| 3107167 | 3510955 | 4148060 | 485783 | 543550 | 568571 | 565991 | 538193 | 514289 | 469629 | 396284 | 333827 | Sum | | | | | | |

المصدر: <https://globalsolaratlas.info>



ملحق (2) التشعيع الطبيعي المباشر والتشعيع العادي المباشر

| | | | | | تشعيع عادي مباشر / Wh/m ² | | | | | تشعيع الطبيعي المباشر [Wh/m ²] | | | | | | |
|---------|---------|---------|---------|---------|--------------------------------------|------|------|------|------|--|------|-----|-----|-----|-----|---------|
| | | | | | Dec | Nov | Oct | Sep | Aug | Jul | Jun | May | Apr | Mar | Feb | Jan |
| 0 | 0 | 0 | 0 | 0 | 0 | 0 | 0 | 0 | 0 | 0 | 0 | 0 | 0 | 0 | 0 | 0 - 1 |
| 0 | 0 | 0 | 0 | 0 | 0 | 0 | 0 | 0 | 0 | 0 | 0 | 0 | 0 | 0 | 0 | 1 - 2 |
| 0 | 0 | 0 | 0 | 0 | 0 | 0 | 0 | 0 | 0 | 0 | 0 | 0 | 0 | 0 | 0 | 2 - 3 |
| 0 | 0 | 0 | 0 | 0 | 0 | 0 | 0 | 0 | 0 | 0 | 0 | 0 | 0 | 0 | 0 | 3 - 4 |
| 0 | 0 | 0 | 0 | 0 | 0 | 0 | 0 | 0 | 0 | 0 | 0 | 0 | 0 | 0 | 0 | 4 - 5 |
| 0 | 0 | 0 | 0 | 0 | 57 | 0 | 0 | 0 | 0 | 0 | 0 | 0 | 0 | 0 | 0 | 5 - 6 |
| 0 | 0 | 2266 | 15949 | 28483 | 59800 | 220 | 180 | 56 | 3 | 0 | 0 | 0 | 0 | 0 | 0 | 6 - 7 |
| 12780 | 48275 | 117622 | 163487 | 190919 | 218104 | 434 | 368 | 295 | 227 | 70 | 57 | 0 | 0 | 0 | 0 | 7 - 8 |
| 158796 | 237774 | 304141 | 342178 | 372118 | 392039 | 565 | 497 | 434 | 429 | 378 | 359 | 0 | 0 | 0 | 0 | 8 - 9 |
| 321954 | 390180 | 458223 | 499918 | 528636 | 540548 | 659 | 601 | 558 | 559 | 506 | 488 | 0 | 0 | 0 | 0 | 9 - 10 |
| 440028 | 500628 | 563069 | 612225 | 638570 | 646189 | 722 | 670 | 638 | 651 | 609 | 586 | 0 | 0 | 0 | 0 | 10 - 11 |
| 506413 | 552898 | 613726 | 670152 | 702446 | 706682 | 757 | 702 | 677 | 697 | 658 | 639 | 0 | 0 | 0 | 0 | 11 - 12 |
| 516413 | 552231 | 609333 | 676473 | 715078 | 719048 | 763 | 706 | 687 | 706 | 672 | 654 | 0 | 0 | 0 | 0 | 12 - 13 |
| 472922 | 497164 | 563080 | 636455 | 684385 | 692219 | 749 | 689 | 667 | 687 | 649 | 627 | 0 | 0 | 0 | 0 | 13 - 14 |
| 371989 | 393989 | 457504 | 542239 | 606113 | 619535 | 705 | 642 | 609 | 625 | 580 | 542 | 0 | 0 | 0 | 0 | 14 - 15 |
| 233232 | 249850 | 310106 | 403341 | 481361 | 503218 | 626 | 545 | 511 | 511 | 464 | 407 | 0 | 0 | 0 | 0 | 15 - 16 |
| 72474 | 87680 | 140761 | 238855 | 322973 | 354117 | 513 | 428 | 380 | 371 | 331 | 248 | 0 | 0 | 0 | 0 | 16 - 17 |
| 166 | 286 | 8229 | 56567 | 151704 | 190108 | 375 | 299 | 214 | 206 | 79 | 22 | 0 | 0 | 0 | 0 | 17 - 18 |
| 0 | 0 | 0 | 0 | 12716 | 44047 | 156 | 55 | 14 | 0 | 0 | 0 | 0 | 0 | 0 | 0 | 18 - 19 |
| 0 | 0 | 0 | 0 | 0 | 0 | 0 | 0 | 0 | 0 | 0 | 0 | 0 | 0 | 0 | 0 | 19 - 20 |
| 0 | 0 | 0 | 0 | 0 | 0 | 0 | 0 | 0 | 0 | 0 | 0 | 0 | 0 | 0 | 0 | 20 - 21 |
| 0 | 0 | 0 | 0 | 0 | 0 | 0 | 0 | 0 | 0 | 0 | 0 | 0 | 0 | 0 | 0 | 21 - 22 |
| 0 | 0 | 0 | 0 | 0 | 0 | 0 | 0 | 0 | 0 | 0 | 0 | 0 | 0 | 0 | 0 | 22 - 23 |
| 0 | 0 | 0 | 0 | 0 | 0 | 0 | 0 | 0 | 0 | 0 | 0 | 0 | 0 | 0 | 0 | 23 - 24 |
| 3107167 | 3510955 | 4148060 | 4857839 | 5435502 | 5685711 | 7244 | 6382 | 5740 | 5672 | 4996 | 4629 | 0 | 0 | 0 | 0 | Sum |

المصدر: <https://globalsolaratlas.info>